

บทที่ 8

โพลาริเซชัน

๘.๑ คำนำ

ในบทที่ ๗ เราได้เรียนรู้ว่าสนามไฟฟ้าและสนามแม่เหล็กในคลื่นระนาบแม่เหล็กไฟฟ้ามีการเคลื่อนที่ตามขวางกับทิศทางของการเคลื่อนที่ \hat{z} มีสองทิศทางตามขวางคือ \hat{x} และ \hat{y} และสนามจัดเรียงตัวเองในทิศ \hat{x} และ \hat{y} ที่ไม่ขึ้นต่อกัน โดยมีการเรียงตัวให้ต่างกัน 90° องศา หรือเราอาจจะคิดว่าในแต่ละทิศทางตามขวางทั้งสองสนามมีจำนวนอัมปลิจูดอยู่มากมายที่มีความสัมพันธ์ทางเฟสต่าง ๆ กัน ถ้าคิดแต่ละองค์ประกอบของสนามไฟฟ้า มันจะมีทิศทางไหนก็ได้บนระนาบ xy เทียบกัน แต่ความเร็วของคลื่นแม่เหล็กไฟฟ้ามีทิศไปทาง \hat{z} ส่วนความสัมพันธ์เฉพาะของอัมปลิจูดและเฟสขององค์ประกอบคู่หนึ่งคู่ใดเป็นตัวกำหนดสถานะ (ขนาดและทิศทาง) ของคลื่นในแนวนั้น เรียกว่า สถานะของโพลาริเซชัน (state of polarization) หรือกล่าวให้ชัดเจนก็คือ สถานะของการโพลาริเซชันบอกได้ถึงความสัมพันธ์ระหว่างอัมปลิจูดและเฟสขององค์ประกอบคู่หนึ่ง

เมื่อคลื่นแม่เหล็กไฟฟ้าตกกระทบบนผิวของวัสดุใด มันจะเกิดการเปลี่ยนแปลงสถานะโพลาริเซชันของรังสีตกกระทบบนผิวที่ไม่ใช่เกิดจากการทำปฏิกิริยากับวัสดุนั้น ตัวอย่างเช่น เราอาจจะหาวัสดุซึ่งอนุภาคประจุมีอิสระในการเคลื่อนที่ตามแกน \hat{x} แต่ไม่สามารถเคลื่อนที่ไต่ตลอดความแกน \hat{y} ในกรณีนี้ E_x สามารถทำงานบนอนุภาคประจุแต่ E_y ไม่สามารถ ดังนั้น พลังงานคลื่นแม่เหล็กไฟฟ้าที่สัมพันธ์กับ E_x เพียงอย่างเดียว อาจจะทำให้พลังงานจลน์ภายในอนุภาคประจุเปลี่ยนแปลงไปเป็นพลังงานความร้อนที่เกิดจากการชนกันของอนุภาคต่ออนุภาค และขณะเดียวกันอัมปลิจูดของ E_y ไม่มีผลต่ออย่างไร หรือมันอาจจะเกิดเพียงเฉพาะแต่เฟสของ E_x เลื่อนไปเมื่อเทียบกับ E_y โดยไม่ทำให้พลังงานลั่นน้อยลง (หรือไม่ทำให้อัมปลิจูดของ E_x ลั่นน้อยลง) ในกรณีทั้งหมดนี้ สถานะโพลาริเซชันของคลื่นแม่เหล็กไฟฟ้าเปลี่ยนแปลงไปเนื่องจากการทำปฏิกิริยา

เป็นที่ยอมรับกันว่า สถานะโพลาริเซชันใช้ได้กับคลื่นที่มีทิศทางโพลาริเซชันอย่าง

น้อยที่สุดสองทิศทางไม่ขึ้นต่อกัน ตัวอย่างเช่น พิจารณาคลื่นเสียงเมื่อเคลื่อนที่ในอากาศตาม \hat{z} เมื่อเราทราบความถี่ อัมพลิจูด และค่าคงที่เฟสของคลื่นเสียง เราก็จะทราบการรจัดของอากาศในคลื่นเสียงไปตามทิศทางของการเคลื่อนที่เป็นคลื่นตามยาว อย่างไรก็ตามอย่างไรก็ดี เราจะไม่กล่าวว่าคลื่นเหล่านี้เป็นไปลาไรซ์ตามยาว เพราะว่า เราใช้เทอมสถานะไปลาไรเซชันอธิบายเฉพาะสำหรับคลื่นซึ่งมีทิศทางของไปลาไรซ์อย่างน้อยสองทิศทางสลับกัน ในกรณีของคลื่นเสียงเคลื่อนที่ในของแข็ง หรือคลื่นบนสลิ้งก็ มีสามสถานะไปลาไรเซชันที่เป็นไปได้ คือมีหนึ่งทิศทางไปลาไรเซชันตามยาว และสองทิศทางไปลาไรเซชันตามขวาง ในกรณีเช่นนี้สามารถมีคลื่นไปลาไรซ์ตามยาวหรือสองคลื่นไปลาไรซ์ตามขวางที่ต่างกัน (หรือคลื่นรวมของไปลาไรเซชันทั้งสาม)

๔.๒ ประเภทของไปลาไรเซชัน

คลื่นทั้งหมดที่เราศึกษาประกอบด้วยปริมาณทางฟิสิกส์บางอย่าง เช่นการรจัดของมัน ห่างจากค่าสมมูลย์แปรตามตำแหน่งและเวลา การรจัดสามารถอธิบายได้ด้วยเวกเตอร์ $\psi(x, y, z, t)$ โดยทั่วไปเราศึกษาคลื่นระนาบซึ่ง ψ มีแบบเป็น $\psi(z, t)$ เมื่อ z วัคไปตามทิศทางของการเคลื่อนที่ (ในที่นี้เราคิดรวมทั้งคลื่นนิ่งและคลื่นเคลื่อนที่) ปริมาณ $\partial\psi(z, t)/\partial t$ และ $\partial\psi(z, t)/\partial z$ เป็นปริมาณที่มีคุณสมบัติทางฟิสิกส์น่าสนใจมากที่สุด เราเห็นมาแล้วจากกรณีสำหรับคลื่นบนเส้นเชือกและสำหรับคลื่นเสียง ในแต่ละกรณี $\psi(z, t)$ กำหนดเป็นการรจัดของอนุภาคของตัวกลางห่างจากตำแหน่งสมมูลย์

สำหรับคลื่นระนาบเคลื่อนที่ไปตามแกน \hat{z} เราสามารถเขียนการรจัดเป็น

$$\psi(z, t) = \hat{x}\psi_x(z, t) + \hat{y}\psi_y(z, t) + \hat{z}\psi_z(z, t) \quad (๔.๑)$$

ในกรณีของคลื่นตามขวางบนเส้นเชือก ψ มีเพียงองค์ประกอบ x และ y เท่านั้น คลื่นชนิดนี้เรียกว่ามีไปลาไรเซชันตามขวาง (โดยทั่วไปสามารถมีคลื่นตามยาวบนเส้นเชือกที่ประกอบด้วยแรงดึงมีการเปลี่ยนแปลง และความเร็วคลื่นตามยาวของอนุภาคบนเส้นเชือก) สำหรับคลื่นเสียงในอากาศ การรจัด ψ เป็นไปตามทิศทางของการเคลื่อนที่ \hat{z} เรียกว่าคลื่นตามยาว ในกรณีของคลื่นระนาบแม่เหล็กไฟฟ้า การรจัด ψ เป็นไปตามขวางกับแกน \hat{z} เราพบว่าทั้ง \vec{E} และ \vec{B}

เป็นไปตามขวางกับแกน \hat{z} เสมอ สำหรับคลื่นในสูญญากาศ (มันเป็นไปได้ที่จะมีองค์ประกอบตามขวางของ \vec{E} และ \vec{B} ถ้าคลื่นเคลื่อนที่ในท่อนำคลื่นหรือในช่องว่าง)

โพลาริเซชันของคลื่นตามขวาง

ต่อไปเราจะพิจารณาเฉพาะคลื่นตามขวาง มีการขจัดเป็น

$$\vec{\psi}(z, t) = \hat{x}\psi_x(z, t) + \hat{y}\psi_y(z, t) \quad (๔.๒)$$

ซึ่งจะกล่าวเพียงสองตัวอย่าง หนึ่งคือ คลื่นตามขวางบนเส้นเชือกตึง หรือสลิงก็ และอีกตัวอย่างคือ คลื่นระนาบแม่เหล็กไฟฟ้าในสูญญากาศ สำหรับคลื่นบนเส้นเชือก $\vec{\psi}(z, t)$ จะกำหนดเป็นการขจัดตามขวางของเส้นเชือกห่างจากตำแหน่งสมมูลย์ และอีกปริมาณหนึ่งที่น่าสนใจคือ ความเร็วตามขวาง $\partial\vec{\psi}/\partial t$ และแรงตามขวาง $-T_0\partial\vec{\psi}/\partial z$ ที่กระทำโดยเส้นเชือกจากตำแหน่งข้างซ้ายของ z ไปยังตำแหน่งข้างขวาของ z ปริมาณเหล่านี้เราจะทราบค่าได้คือเมื่อทราบค่า $\vec{\psi}(z, t)$ แล้ว สำหรับคลื่นระนาบแม่เหล็กไฟฟ้า $\vec{\psi}(z, t)$ กำหนดเป็นสนามไฟฟ้าตามขวาง $\vec{E}(z, t)$ อีกปริมาณทางฟิสิกส์ที่น่าสนใจคือ สนามแม่เหล็กตามขวาง $\vec{B}(z, t)$ ซึ่งเราจะทราบค่าได้เมื่อทราบค่า $\vec{E}(z, t)$ แล้ว ตัวอย่างเช่น เราสามารถหาค่า $\vec{E}(z, t)$ ทั่วไปเป็นการรวมกันไค์ของคลื่นเคลื่อนที่ในทิศทางทั้ง $+z$ และ $-z$ โดยกำหนดให้ \vec{E}^+ แทนส่วนของ \vec{E} ที่เป็นคลื่นเคลื่อนที่ในทิศ $+z$ และ \vec{E}^- เป็นส่วนของคลื่นเคลื่อนที่ในทิศ $-z$ ดังนั้นเราสามารถเขียน

$$\vec{E}(z, t) = \vec{E}^+(z, t) + \vec{E}^-(z, t) \quad (๔.๓)$$

จากการศึกษาคลื่นเคลื่อนที่ในคลื่นแม่เหล็กไฟฟ้า (ตอน ๓.๒) เราทราบว่าสนามแม่เหล็ก \vec{B}^+ เกี่ยวข้องกับ \vec{E}^+ ด้วยเท่ากับ $\hat{z} \times \vec{E}^+$ และสนามแม่เหล็ก \vec{B}^- เกี่ยวข้องกับ \vec{E}^- ด้วยเท่ากับ $-\hat{z} \times \vec{E}^-$ ดังนั้น สนามแม่เหล็กที่เกี่ยวข้องกับการรวมกันของสมการ (๔.๓) คือ

$$\vec{B}(z, t) = \hat{z} \times [\vec{E}^+(z, t) - \vec{E}^-(z, t)] \quad (๔.๔)$$

โพลาริเซชันเชิงเส้น

ในกรณีของคลื่นตามขวางสำหรับคลื่นระนาบแม่เหล็กไฟฟ้าและคลื่นบนเส้นเชือก ถ้าการซีกเป็นการออสซิลเลตกลับไปกลับมาระหว่างกับ z แน่นอนเส้นหนึ่ง คลื่นนี้เรียกว่าโพลาริเซชันเชิงเส้น มีสองทิศทางขวางที่ไม่ขึ้นต่อกันให้เป็น \hat{x} และ \hat{y} เมื่อเราพิจารณาที่ค่า z แน่นอนค่าหนึ่ง ดังนั้นการออสซิลเลตที่สอดคล้องกับคลื่นระนาบโพลาริเซชันเชิงเส้นสามารถมีแบบเป็น

$$\vec{\psi}(t) = \hat{x}A_1 \cos \omega t \quad (2.5)$$

$$\vec{\psi}(t) = \hat{y}A_2 \cos \omega t \quad (2.6)$$

ในที่นี้เราจัดให้ค่าคงที่เฟสเป็นศูนย์ โดยทั่วไปเราสามารถมีการออสซิลเลตโพลาริเซชันเชิงเส้นอยู่บนแนวที่ไม่เป็นทั้ง \hat{x} และ \hat{y} การออสซิลเลตแบบนี้สามารถเขียนเป็นการรวมกันของสองโพลาริเซชันเชิงเส้นที่ไม่ขึ้นต่อกัน ด้วยสมการ (2.5) และ (2.6) ดังนี้

$$\vec{\psi}(t) = \hat{x}A_1 \cos \omega t + \hat{y}A_2 \cos \omega t \quad (2.7)$$

หรือ

$$\vec{\psi}(t) = (\hat{x}A_1 + \hat{y}A_2) \cos \omega t \quad (2.8)$$

เวกเตอร์ $\hat{x}A_1 + \hat{y}A_2$ มีขนาดและทิศทางที่ไม่ขึ้นต่อเวลา ดังนั้น $\vec{\psi}(t)$ ในสมการ (2.8) ประกอบด้วยการออสซิลเลตตามเส้นตรงที่แน่นอนและมีอัมพลิจูด A เป็น

$$A = \sqrt{A_1^2 + A_2^2} \quad (2.9)$$

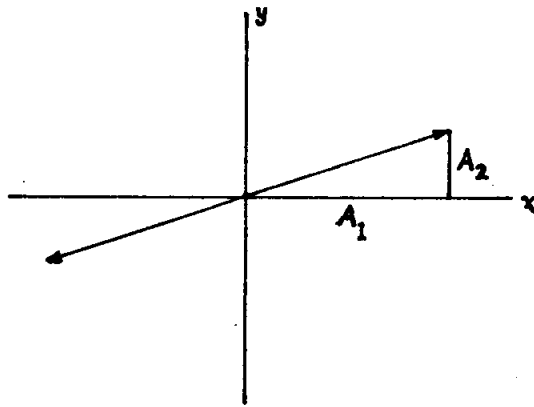
กำหนดให้ \hat{e} เป็นหน่วยเวกเตอร์ตาม A ดังนั้นทิศทางของ $\psi(t)$ เป็นไปตาม $+\hat{e}$ หรือ $-\hat{e}$

$$\hat{e} = \frac{A_1}{A}\hat{x} + \frac{A_2}{A}\hat{y} \quad (2.10)$$

เราสามารถเห็นได้ว่า \hat{e} เป็นหน่วยเวกเตอร์จาก

$$\begin{aligned}
 \hat{e} \cdot \hat{e} &= \frac{(A_1 \hat{x} + A_2 \hat{y})^2}{A^2} \\
 &= \frac{A_1^2 \hat{x} \cdot \hat{x} + A_2^2 \hat{y} \cdot \hat{y} + 2A_1 A_2 \hat{x} \cdot \hat{y}}{A^2} \\
 &= \frac{A_1^2 + A_2^2}{A^2} = 1 \quad (2.10)
 \end{aligned}$$

การขจัด $\Psi(z)$ สำหรับคลื่นโพลาไรซ์เชิงเส้นในรูป 2.10



รูป 2.10 แสดงโพลาไรเซชันเชิงเส้น

คลื่นนิ่งโพลาไรซ์เชิงเส้น

เราสามารถหาคลื่นนิ่งโพลาไรซ์เชิงเส้นได้โดยคูณการขจัดโพลาไรซ์เชิงเส้นในสมการ (2.2) ด้วย $\sin kz$

$$\vec{\psi}(z, t) = (\hat{x}A_1 + \hat{y}A_2) \sin kz \cos \omega t \quad (2.11)$$

ได้คลื่นนิ่งโพลาไรซ์เชิงเส้นมีบีทที่ $z = 0$

คลื่นเคลื่อนที่โพลาไรซ์เชิงเส้น

สำหรับคลื่นเคลื่อนที่โพลาไรซ์เชิงเส้นที่เคลื่อนที่ไปในทิศ $+z$ เราหาได้ง่ายโดย

แทน ωt ด้วย $\omega t - kz$ ในสมการของการซิกซ์โปลาไรซ์เชิงเส้นสำหรับ z แน่นอน คือ

$$\vec{\psi}(z,t) = (\hat{x}A_1 + \hat{y}A_2) \cos(\omega t - kz) \quad (๘.๑๓)$$

โปลาไรเซชันเชิงกลม

ถ้าการซิกซ์ในคลื่นตามขวางมีการเคลื่อนที่เป็นวงกลม เรียกคลื่นว่าเป็นโปลาไรซ์เชิงกลม ครั้งแรกเราพิจารณาคลื่นที่ค่า z แน่นอนค่าหนึ่ง โดยไม่เจาะจงลงไปว่าคลื่นเคลื่อนที่ไปทางทิศ $+z$ หรือ $-z$ (หรือไม่เจาะจงว่าเป็นคลื่นเคลื่อนที่) ถ้าจกให้นิ้วหัวแม่มือของมือขวาของเราชี้ไปทางทิศ $+z$ และนิ้วอื่นๆอยู่ในทิศการหมุนของการซิกซ์ กังนั้นเรากล่าวได้ว่า การออสซิลเลตเป็นโปลาไรซ์เชิงกลมตาม $+z$ (ทำนองเดียวกัน เราใช้กฎมือขวากำหนดโปลาไรซ์เชิงกลมตาม $-z$) การออสซิลเลตเป็นโปลาไรซ์เชิงกลมตาม $+z$ สามารถเขียนเป็นการรวมกันไคของการออสซิลเลตเป็นโปลาไรซ์เชิงเส้นตาม \hat{x} และการออสซิลเลตเป็นโปลาไรซ์เชิงกลมตาม \hat{y} ด้วยอัมปลิจูดเท่ากับของการออสซิลเลตตาม \hat{x} เราจกให้แกน x, y, z เป็นเซต (set) ของแกนมือขวา กังนั้น $\hat{x} \times \hat{y} = \hat{z}$ จะเห็นไคว่าสำหรับโปลาไรเซชันเชิงกลมตาม $+z$ การออสซิลเลต \hat{x} นำหน้าการออสซิลเลต \hat{y} ด้วย ๙๐ องศา

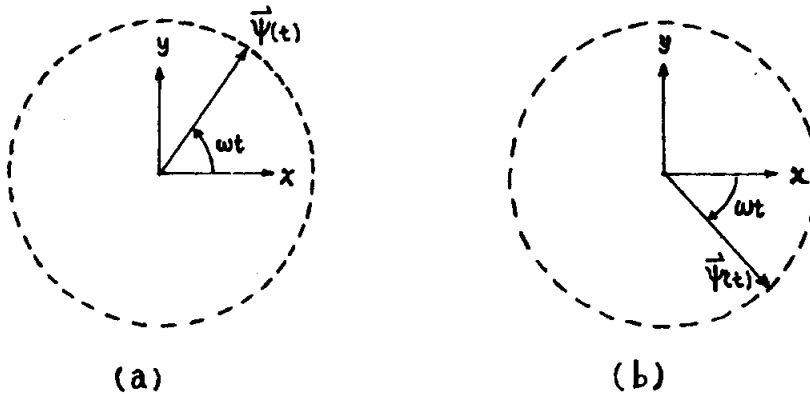
$$\begin{aligned} \vec{\psi}(t) &= \hat{x}A \cos\omega t + \hat{y}A \cos(\omega t - \frac{1}{2}\pi) \\ &= \hat{x}A \cos\omega t + \hat{y}A \sin\omega t \end{aligned} \quad (๘.๑๔)$$

ทำนองเดียวกัน สำหรับโปลาไรเซชันเชิงกลมตาม $-z$ การออสซิลเลต \hat{x} ช้ากว่าการออสซิลเลต \hat{y} ด้วย ๙๐ องศา

$$\begin{aligned} \vec{\psi}(t) &= \hat{x}A \cos\omega t + \hat{y}A \cos(\omega t + \frac{1}{2}\pi) \\ &= \hat{x}A \cos\omega t - \hat{y}A \sin\omega t \end{aligned} \quad (๘.๑๕)$$

คลื่นระนาบโปลาไรซ์เชิงกลมมีการหาโมเมนตัมเชิงมุม $\vec{J} = \pm(\omega/\omega)z$ เมื่อ ω คือพลังงาน และ ω คือความถี่เชิงมุม เครื่องหมายของโมเมนตัมเชิงมุมเป็นไปตามความหมายของการหมุน

ของสนาม กังนั้โมเมนต์เชิงมุมเคลื่อนที่ไปตาม $+z$ สำหรับโพลาริเซชันเชิงกลมตาม $+z$ และไปตาม $-z$ สำหรับโพลาริเซชันเชิงกลมตาม $-z$ การขจัด $\vec{\psi}(t)$ สำหรับการออสซิลเลตโพลาริเซชันเชิงมุมที่ตำแหน่ง z แน่บนได้นแสดงในรูป ๔.๒



รูป ๔.๒ แสดงโพลาริเซชันเชิงกลม (a) โพลาริเซชันและโมเมนต์เชิงมุมไปตาม $+z$
(b) โพลาริเซชันและโมเมนต์เชิงมุมไปตาม $-z$.

คลื่นนิ่งโพลาริเซชันเชิงกลม

คลื่นนิ่งโพลาริเซชันเชิงกลมที่มีโพลาริเซชันตาม $+z$ หาได้โดยคูณการออสซิลเลตโพลาริเซชันเชิงกลมสำหรับตำแหน่ง z แน่บนของสมการ (๔.๑๔) ด้วย $\text{sinc}kz$ เราจะได้คลื่นนิ่งมีพิพอยู่ที่ $z = 0$ และคลื่นนิ่งโพลาริเซชันเชิงกลมตาม $+z$ เป็น

$$\vec{\psi}(z, t) = [\hat{x} \cos \omega t + \hat{y} \cos(\omega t - \frac{1}{2}\pi)] A \text{sinc}kz \quad (๔.๑๖)$$

ส่วนคลื่นเคลื่อนที่โพลาริเซชันเชิงกลมตาม $+z$ หาได้ง่ายโดยแทนค่า ωt ด้วย $\omega t - kz$ (สำหรับการเคลื่อนที่ไปตาม $+z$) ในการออสซิลเลตโพลาริเซชันเชิงกลมของสมการ (๔.๑๔)

$$\vec{\psi}(z, t) = A\{\hat{x} \cos[\omega t - kz] + \hat{y} \cos[(\omega t - \frac{1}{2}\pi) - kz]\} \quad (๔.๑๗)$$

ทำนองเดียวกันถ้าเราต้องการคลื่นเคลื่อนที่ไปตาม $-z$ เราแทน ωt ด้วย $\omega t + kz$ หรือถ้า

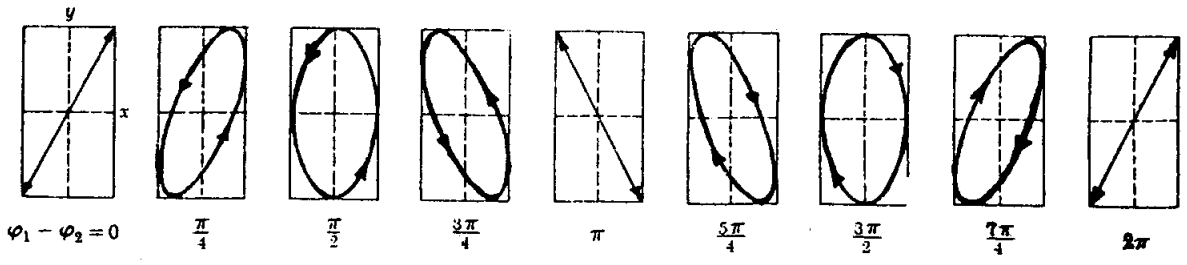
เราต้องการคลื่นที่มีโมเมนตัมเชิงมุมไปตาม $-z$ เราเริ่มจากการออสซิลเลตโพลารอยซ์เชิงกลม กำหนดด้วยสมการ (๔.๑๕) และทำในทำนองเดียวกันโดยแทน ωt ด้วย $\omega t - kz$ หรือ $\omega t + kz$

โพลารอยซ์เชิงกลมตามขวางทั่วไปหรือโพลารอยซ์เชิงรูปไข่

ที่ตำแหน่ง z บนอนตำแหน่งหนึ่ง การออสซิลเลตโพลารอยซ์ตามขวางทั่วไปมีรูปทั่วไปเป็น

$$\vec{\psi}(t) = \hat{x}A_1 \cos(\omega t + \phi_1) + \hat{y}A_2 \cos(\omega t + \phi_2) \quad (๔.๑๘)$$

ถ้า ϕ_2 เท่ากับ ϕ_1 หรือเท่ากับ $\phi_1 \pm \pi$ เราได้โพลารอยซ์เชิงเส้น ถ้า ϕ_2 เท่ากับ $\phi_1 - \frac{1}{2}\pi$ และ $A_2 = A_1$ เราได้โพลารอยซ์เชิงกลมตาม $+z$ หรือ ϕ_2 เท่ากับ $\phi_1 + \frac{1}{2}\pi$ และ $A_2 = A_1$ เราได้โพลารอยซ์เชิงกลมตาม $-z$ สำหรับกรณีทั่วไปเมื่อ A_2 และ A_1 ไม่เท่ากัน และ ϕ_2 และ ϕ_1 เป็นค่าใดๆ การขจัด ψ แสดงเป็นรูปวงรี (elliptical path) เราสามารถพิจารณาได้ดังต่อไปนี้ กำหนดเรียก ψ_x และ ψ_y เป็น x และ y ตามลำดับ ดังนั้น x คือ $A_1 \cos(\omega t + \phi_1)$ และ y คือ $A_2 \cos(\omega t + \phi_2)$ กระจายแต่ละพจน์ cosine เหล่านี้ทำให้ x เป็นผลรวมของ $\sin\omega t$ และ $\cos\omega t$ และ y เป็นของพจน์อื่น คือไปเราแก้ปัญหานี้ทั้งสองสมการหาค่า $\sin\omega t$ และ $\cos\omega t$ พบว่า $\sin\omega t$ และ $\cos\omega t$ ต่างเป็นผลรวมของ x และ y ที่ต่างกัน ต่อจากนั้นยกกำลังสองของพจน์ $\sin\omega t$ และ $\cos\omega t$ แล้วบวกกัน (ซึ่งเท่ากับ ω) ให้ผลลัพธ์เป็นสมการที่มีพจน์ x^2, y^2 และ xy รวมอยู่ สมการนี้เรียกว่า conic section ถ้าค่าที่เป็นไปได้ของ x และ y มีขนาดจำกัด conic section เป็นรูปไข่ ในรูป ๔.๑๓ ได้แสดงความสัมพันธ์เฟส $\phi_1 - \phi_2$ ค่าต่างๆในสมการ (๔.๑๘)



รูป ๔.๑๓ แสดงโพลารอยซ์ตามขวาง อัมปลิจูดทาง x เป็น a เท่าของทาง y

Complex notation

เมื่อมีค่าคงที่เฟสหลายค่าในการรวมกันไคของคลื่น บางครั้งเพื่อความสะดวกเราใช้ complex number ในการพิจารณาคลื่นฮาร์โมนิกแม่เหล็กไฟฟ้าเคลื่อนที่ไปทางทิศ $+z$

$$\vec{E}(z,t) = \hat{x}E_x(z,t) + \hat{y}E_y(z,t)$$

$$\vec{E}(z,t) = \hat{x}E_1 \cos(kz - \omega t - \phi_1) + \hat{y}E_2 \cos(kz - \omega t - \phi_2) \quad (2.98)$$

สนามไฟฟ้าความถี่ (2.98) เป็นส่วนจริงของ complex wave function ก็คือ

$$\vec{E}_c(z,t) = e^{i(kz - \omega t)} (\hat{x}E_1 e^{-i\phi_1} + \hat{y}E_2 e^{-i\phi_2}) \quad (2.99)$$

ปริมาณ \vec{E}_c มีส่วนจริงเป็นสนามไฟฟ้า \vec{E} สามารถคิดเป็นการรวมกันไค

$$\vec{E}_c(z,t) = A_1 \vec{\psi}_1(z,t) + A_2 \vec{\psi}_2(z,t) \quad (2.100)$$

เมื่อ

$$\vec{\psi}_1(z,t) = \hat{x} e^{i(kz - \omega t)}$$

$$\vec{\psi}_2(z,t) = \hat{y} e^{i(kz - \omega t)} \quad (2.101)$$

$$A_1 = E_1 e^{-i\phi_1}, \quad A_2 = E_2 e^{-i\phi_2} \quad (2.102)$$

Orthonormal wave function

ฟังก์ชันคลื่น $\vec{\psi}_1$ และ $\vec{\psi}_2$ เป็น complete set of orthonormal wave functions คำคุณศัพท์ "complete" หมายความว่า คลื่นเคลื่อนที่ฮาร์โมนิกใดๆสามารถกระจายเป็นการรวมกันของ $\vec{\psi}_1$ และ $\vec{\psi}_2$ ด้วยค่าคงที่สัมประสิทธิ์ complex A_1 และ A_2 ที่เหมาะสม และคำคุณศัพท์ "orthonormal" หมายความว่าคลื่นมีคุณสมบัติดังนี้

$$\vec{\psi}_1^* \cdot \vec{\psi}_1 = \vec{\psi}_2^* \cdot \vec{\psi}_2 = 1, \quad \vec{\psi}_1^* \cdot \vec{\psi}_2 = \vec{\psi}_2^* \cdot \vec{\psi}_1 = 0 \quad (2.103)$$

ในที่นี้เครื่องหมายดอกจันรั้วแสดง complex conjugation (กล่าวคือแทนค่าของ i ด้วย

-1) ดังที่เรามี

$$\vec{\psi}_1^* \cdot \vec{\psi}_1 = [\hat{x}e^{-i(kz - \omega t)}] \cdot [\hat{x}e^{i(kz - \omega t)}] = \hat{x} \cdot \hat{x} = 1$$

$$\vec{\psi}_1^* \cdot \vec{\psi}_2 = [\hat{x}e^{-i(kz - \omega t)}] \cdot [\hat{y}e^{i(kz - \omega t)}] = \hat{x} \cdot \hat{y} = 0$$

เนื่องจากสถานะ orthonormal ในสมการ (๔.๖๔) ขนาดแท้จริงยกกำลังสองของ complex vector \vec{E}_c เขียนได้เป็น

$$\begin{aligned} |\vec{E}_c|^2 &\equiv (\vec{E}_c^*) \cdot (\vec{E}_c) \\ &= (A_1^* \vec{\psi}_1 + A_2^* \vec{\psi}_2) \cdot (A_1 \vec{\psi}_1 + A_2 \vec{\psi}_2) \\ &= |A_1|^2 + |A_2|^2 \\ &= E_1^2 + E_2^2 \end{aligned} \quad (๔.๖๕)$$

ผลิตภัณฑ์พลังงานเฉลี่ยตามเวลาใน complex notation

จากผลิตภัณฑ์พลังงานเฉลี่ยตามเวลากำหนดเป็น

$$\langle S \rangle = \frac{c}{4\pi} \langle \vec{E}^2 \rangle \quad (๔.๖๖)$$

เมื่อ

$$\begin{aligned} \langle \vec{E}^2 \rangle &= \langle (xE_x + yE_y)^2 \rangle \\ &= \langle E_x^2 \rangle + \langle E_y^2 \rangle \\ &= \frac{1}{2} E_1^2 + \frac{1}{2} E_2^2 \end{aligned} \quad (๔.๖๗)$$

เพคเตอร์ $\frac{1}{2}$ ในบรรทัดสุดท้ายของสมการ (๔.๖๗) ได้มาจากการเฉลี่ยกำลังสองตามเวลาของการออสซิลเลชันโมนิคในสมการ (๔.๑๔)

โดยการเปรียบเทียบสมการ (๔.๖๕) และ (๔.๖๗) เราพบว่า ปริมาณ complex \vec{E}_c ซึ่งมีส่วนจริงเป็นสนามไฟฟ้า \vec{E} ให้ค่าผลิตภัณฑ์พลังงานเฉลี่ยตามเวลาได้ถูกต้องเมื่อเราใช้

ครึ่งหนึ่งของขนาดแท้จริงกำลังสองของ \vec{E}_c ในตำแหน่งของค่าเฉลี่ยตามเวลากำลังสองของ \vec{E}

$$\vec{E} = R_e \vec{E}_c = \text{ส่วนจริงของ } \vec{E}_c \quad (๘.๒๘)$$

$$\langle \vec{E}^2 \rangle = \frac{1}{2} |\vec{E}_c|^2 \quad (๘.๒๙)$$

เมื่อ

$$\langle \vec{E}^2 \rangle = \langle E_x^2 + E_y^2 \rangle$$

$$|\vec{E}_c|^2 = |E_{xc}|^2 + |E_{yc}|^2 \quad (๘.๓๐)$$

การแทนแสงไปลาไรซ์ด้วยสัญลักษ์อื่น

โดยทั่วไปสภาวะไปลาไรเซชันสามารถแทนด้วยการรวมกันได้ของคลื่นไปลาไรซ์เชิงเส้นตาม \hat{x} และ \hat{y} ความจริงมันมีทิศทางใดเป็นจำนวนอนันต์ที่เราสามารถเลือกเป็น \hat{x} ดังนั้นจะมีจำนวนเป็นอนันต์ของการแทนไปลาไรซ์เชิงเส้นที่สามารถใช้ได้ ใน complex notation เราสามารถกล่าวได้ว่ามีจำนวนอนันต์ของฟังก์ชันคลื่น complete set of orthonormal $\vec{\psi}_1$ และ $\vec{\psi}_2$ ที่สามารถใช้เป็นแบบพื้นฐานสำหรับการรวมกันได้ \vec{E}_c ตัวอย่างเช่น สมมติว่าหน่วยเวกเตอร์ \hat{e}_1, \hat{e}_2 หาได้จาก \hat{x} และ \hat{y} เกิมโดยหมุน \hat{x} และ \hat{y} ไปเป็นมุม ϕ (ในทิศทางของการหมุนจาก \hat{x} ไป \hat{y}) ดังนั้น

$$\hat{e}_1 = \hat{x} \cos\phi + \hat{y} \sin\phi, \quad \hat{e}_2 = -\hat{x} \sin\phi + \hat{y} \cos\phi \quad (๘.๓๑)$$

complete set of orthonormal wave function ที่สอดคล้องกับการแทนไปลาไรซ์เชิงเส้นตาม \hat{e}_1 และ \hat{e}_2 กำหนดเป็น

$$\vec{\psi}_1 = \hat{e}_1 e^{i(kz - \omega t)}, \quad \vec{\psi}_2 = \hat{e}_2 e^{i(kz - \omega t)} \quad (๘.๓๒)$$

เราสามารถตรวจสอบว่า $\vec{\psi}_1$ และ $\vec{\psi}_2$ เป็นไปตามสภาวะ orthonormal ในสมการ (๘.๒๘) ได้ง่าย

การแทนไปลาไรเซชันเชิงหมุน

สถานะโพลาริเซชันทั่วไปของคลื่นเคลื่อนที่ฮาร์โมนิกสามารถแทนเป็นการรวมกันขององค์ประกอบโพลาริเซชันเชิงหมุนทั้งทางขวามือและทางซ้ายมือด้วยอัมพลิจูดและค่าคงที่เฟสที่เหมาะสม ตัวอย่างเช่น คลื่นโพลาริเซชันเชิงเส้นตาม \hat{x} สามารถเขียนได้ทั้งแบบของ

$$\vec{E} = \hat{x}A \cos(kz - \omega t) \quad (2.33)$$

หรือ

$$\vec{E} = \frac{A}{2} \{ \hat{x} \cos[\omega t - kz] + \hat{y} \cos[(\omega t - \frac{1}{2}\pi) - kz] \} \\ + \frac{A}{2} \{ \hat{x} \cos(\omega t - kz) + \hat{y} \cos[(\omega t + \frac{1}{2}\pi) - kz] \} \quad (2.34)$$

การแทนของ \vec{E} ในสมการ (2.33) เป็นการแทนโพลาริเซชันเชิงเส้นด้วยอัมพลิจูด A ส่วนการแทนของ \vec{E} ในสมการ (2.34) เป็นการรวมกันขององค์ประกอบโพลาริเซชันเชิงหมุนที่มีโมเมนตัมเชิงมุมตาม $+\hat{z}$ และ $-\hat{z}$ และแต่ละองค์ประกอบมีอัมพลิจูด $\frac{1}{2}A$ สมการ complex ที่มีลักษณะเหมือนกับสมการ (2.33) และ (2.34) เป็นดังนี้

$$\vec{E}_c = A \hat{x} e^{i(kz - \omega t)} \quad (2.35)$$

และ

$$\vec{E}_c = \frac{1}{2}A \left[\hat{x} e^{i(kz - \omega t)} + \hat{y} e^{i\{kz - |\omega t - (\frac{1}{2}\pi)|\}} \right] \\ + \frac{1}{2}A \left[\hat{x} e^{i(kz - \omega t)} + \hat{y} e^{i\{kz - |\omega t + (\frac{1}{2}\pi)|\}} \right] \quad (2.36)$$

เราใช้ความจริงที่ว่า

$$e^{i(\frac{1}{2}\pi)} = \cos \frac{1}{2}\pi + i \sin \frac{1}{2}\pi = i \quad (2.37)$$

$$e^{-i(\frac{1}{2}\pi)} = \cos \frac{1}{2}\pi - i \sin \frac{1}{2}\pi = -i$$

เขียนสมการ (2.36) ใหม่นี้เป็น

$$\vec{E}_c = \frac{1}{2}A \left[(\hat{x} + i\hat{y}) e^{i(kz - \omega t)} \right] + \frac{1}{2}A \left[(\hat{x} - i\hat{y}) e^{i(kz - \omega t)} \right] \quad (2.38)$$

เราสามารถกำหนดเซตสมบรูณ์ของฟังก์ชันคลื่นโพลาริเซชันเชิงหมุน orthonormal ด้วย

$$\begin{aligned}\vec{\psi}_+ &= \left(\frac{\hat{x} + i\hat{y}}{\sqrt{2}} \right) e^{i(kz - \omega t)} \\ \vec{\psi}_- &= \left(\frac{\hat{x} - i\hat{y}}{\sqrt{2}} \right) e^{i(kz - \omega t)}\end{aligned}\quad (2.34)$$

เราอาจจะตรวจสอบว่า $\vec{\psi}_+$ และ $\vec{\psi}_-$ เป็น orthonormal ได้เมื่อเรามี

$$\vec{\psi}_+^* \cdot \vec{\psi}_+ = \vec{\psi}_-^* \cdot \vec{\psi}_- = 1; \quad \vec{\psi}_+^* \cdot \vec{\psi}_- = \vec{\psi}_-^* \cdot \vec{\psi}_+ = 0 \quad (2.35)$$

ดังนั้นสถานะโพลาไรเซชันทั่วไปของคลื่นเคลื่อนที่ฮาร์โมนิกสามารถเขียนเป็นแบบ

$$\vec{E}_c(z, t) = A_+ \vec{\psi}_+ + A_- \vec{\psi}_- \quad (2.36)$$

เมื่อ A_+ และ A_- เป็นค่าคงที่ complex สำหรับกรณีพิเศษของโพลาไรเซชันเชิงเส้นที่สอดคล้องกับสมการ (2.34) เราเห็นได้ว่า A_+ และ A_- คือ

$$A_+ = A_- = \frac{1}{\sqrt{2}} A \quad (2.37)$$

ฟังก์ชันพลังงานเฉลี่ยตามเวลาในสถานะโพลาไรเซชันทั่วไปของคลื่นเคลื่อนที่ฮาร์โมนิกกำหนดด้วย

$$\langle S \rangle = \frac{c}{4\pi} \langle \vec{E}^2 \rangle \quad (2.38)$$

เมื่อ

$$\langle \vec{E}^2 \rangle = \frac{1}{2} |\vec{E}_c|^2$$

$$|\vec{E}_c|^2 = |A_+ \vec{\psi}_+ + A_- \vec{\psi}_-|^2 = |A_+|^2 + |A_-|^2 \quad (2.39)$$

2.3 การผลิตคลื่นเคลื่อนที่โพลาไรซ์

ในตอนนี้เราจะศึกษาวิธีการต่างๆ สำหรับผลิตสถานะโพลาไรเซชันที่ต้องการ เช่น การบังคับโพลาไรเซชันเป็นวิธีที่ง่ายที่สุด โดยบังคับวิธีการแผ่รังสี เช่น สับสปริงสลิงกีหรือ การกระจายคลื่นแม่เหล็กไฟฟ้าออกจากเสาอากาศ อย่างไรก็ตาม มันอาจจะเกิดการแผ่รังสีที่เราไม่สามารถบังคับมันได้ตลอด ในกรณีเช่นนี้ไม่ว่าเราจะเริ่มต้นด้วยแสงจากหลอดไฟฟ้าหรือจากดวงอาทิตย์ก็มีปัญหาคือ เราจะเลือกสถานะโพลาไรเซชันที่ต้องการอย่างไร จากการรวมกันอย่าง

บ่งยากของสภาวะที่ต่างกัน บางทีองค์ประกอบไปลาไรเซชันที่เราไม่ต้องการสามารถถูกกลืนได้
ด้วยแผ่นไปลาไรอยด์ หรือบางทีเราสามารถจัดให้แสงสะท้อนขององค์ประกอบไปลาไรเซชันที่ไม่
ต้องการนี้สะท้อนด้วยจำนวนน้อยจนเกือบเป็นศูนย์ ดังนั้นเราพิจารณาเฉพาะรังสีสะท้อนเท่านั้น
การเลือกรังสีสะท้อนชนิดนี้ทำให้ห้องฟ้าไปลาไรซ์เป็นสีน้ำเงินนั่นเอง

ไปลาไรเซชันโดยเลือกการแผ่รังสี

เมื่อเราสั้นสปริงสลิงก็ หมายถึงเราบังคับสถานะไปลาไรเซชันของคลื่น กว้างทิศทาง
ของการสั่น ทำนองเดียวกัน คลื่นวิทยุหรือคลื่นสั้นกระจายออกจากเสาอากาศมีไปลาไรเซชันซึ่ง
ขึ้นกับการเคลื่อนที่ของอิเล็กตรอนในเสาอากาศ ถ้าเสาอากาศเป็นเส้นลวดตรงตั้งฉากกับ \hat{z}
อิเล็กตรอนที่ออสซิลเลตตามแนวเส้นลวดจะกระตุ้นเส้นแรงไฟฟ้าในทิศทางนั้น ทำให้เกิดคลื่นแม่
เหล็กไฟฟ้าแผ่ออกไปตาม \hat{z} เป็นไปลาไรซ์เชิงเส้นที่มีสนามไฟฟ้าขนานกับเสาอากาศ ส่วน
รังสีที่แผ่ออกไปในทิศทางอื่นเป็นไปลาไรซ์เชิงเส้นตามทิศทางของเงาของเสาอากาศที่ตั้งฉาก
กับทิศทางการเคลื่อนที่ ถ้ามีเสาอากาศเส้นตรงเส้นหนึ่งขนานตาม \hat{x} และอีกเส้นหนึ่งขนานตาม
 \hat{y} และเสาอากาศถูกกระตุ้นด้วยสองกระแสที่เท่ากันซึ่งมีเฟสเดียวกัน ทำให้เกิดรังสีแผ่ออกตาม
 $\pm \hat{z}$ เป็นไปลาไรซ์เชิงเส้นตามทิศทาง \hat{z} องศา ระหว่าง \hat{x} และ \hat{y} ถ้ากระแส x มี
อัมพลิจูดเท่ากับกระแส y แคนำหน้า y ด้วยเฟส 90° องศา รังสีแม่เหล็กไฟฟ้าที่แผ่ออกตาม
แกน $+\hat{z}$ หรือ $-\hat{z}$ จะเป็นไปลาไรซ์เชิงหมุนด้วยโมเมนต์เชิงมุมไปตาม $+\hat{z}$ รังสีที่กระจาย
ไปตาม $+\hat{z}$ เป็นไปตามทิศมือขวา ส่วนรังสีที่กระจายไปตาม $-\hat{z}$ เป็นไปตามทิศมือซ้าย สำหรับ
ไปลาไรเซชันของรังสีที่กระจายในทิศทางใดๆจากระบบของสองเสาอากาศมีลักษณะเหมือนกับ
การออสซิลเลตของประจุเป็นจุด (point charge) q อธิบายได้ด้วยการเคลื่อนที่เชิงหมุน

$$\vec{\psi} = A [\hat{x} \cos \omega t + \hat{y} \sin \omega t] \quad (2.44)$$

จากจุดสังเกตใดๆเห็นได้ว่าเงาของการเคลื่อนที่เชิงหมุนของประจุเหมือนกับเคลื่อนที่รูปไข่
(elliptical motion) ดังนั้นไปลาไรเซชันสำหรับทิศทางการแผ่กระจายทั่วไปเป็นรูปไข่

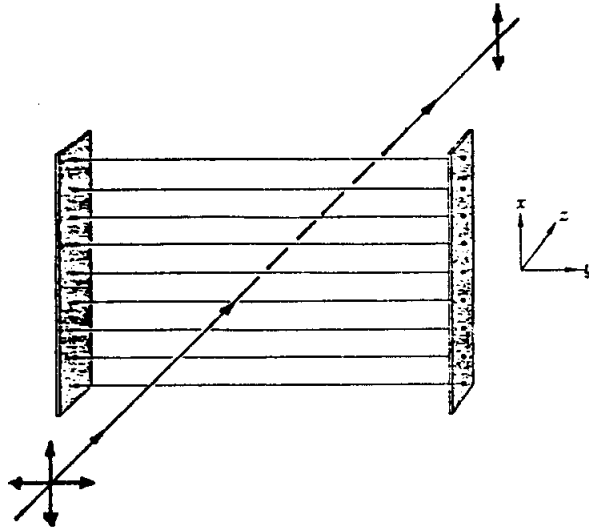
โพลาริเซชันโดยเลือกการถูกคลื่น

มีสถานะโพลาริเซชันทั่วไปอีกวิธีหนึ่งที่ผลิตโพลาริเซชันตามต้องการได้คือการกรองหรือคลื่นองค์ประกอบที่ไม่ต้องการของคลื่นด้วยการจำกัดให้มันทำงานบนส่วนเคลื่อนที่ (moving parts) บางอย่าง แอ่งองค์ประกอบที่ต้องการไม่ทำงาน ตัวอย่างเช่น พิจารณาคลื่นนิ่งบนสลิงก็ สมมติ z เป็นแนวราบ (ตามยาวสลิงก็) y เป็นแนวตั้ง และ x เป็นแนวราบ โดยใช้เครื่องตีไข่มวลเบาทางแนวตั้งถูกติดกับก้ามมวลเบาจนน้ำในถัง ก้านสูบทำให้เกิดการสั่นตามองค์ประกอบ y ไคคลื่นหนึ่งที่มีทั้งการสั่นตาม x และ y ในปริมาณเท่ากัน การสั่นตาม y จะค่อยๆ ลดน้อยลงเนื่องจากพลังงานของมันสูญเสียไปกลายเป็นความร้อนในน้ำในถัง

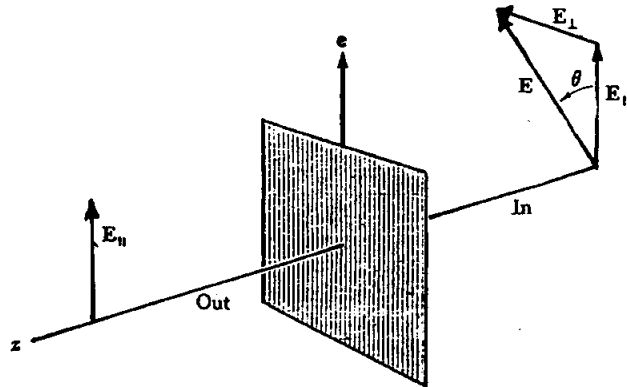
กลุ่มของเส้นลวด (Skein of wire)

ในกรณีของคลื่นสั้น เราสามารถตัดหรือกรององค์ประกอบที่ไม่ต้องการออก โดยเลือกให้เกิดการถูกคลื่นด้วยกลุ่มของลวดเหนี่ยวนำวางขนานกันในแนว y ตามรูป ๔.๔ สมมติว่าสนามไฟฟ้าในรังสีคลื่นแม่เหล็กไฟฟ้าตกกระทบ (รังสีคลื่นสั้น) มีทั้งองค์ประกอบตาม x และ y เราอาจจะแยกพิจารณาผลของเส้นลวดบนองค์ประกอบทั้งสอง ครั้งแรกพิจารณาองค์ประกอบ y ตามยาวของเส้นลวดก่อน สนามไฟฟ้าของรังสีตกกระทบกระตุ้นอิเล็กตรอนเคลื่อนที่ไปตามเส้นลวด เส้นลวด (ทำด้วย copper หรือเงินหรือสารตัวนำที่ดีใดๆ) กระทำเป็น resistive load อิเล็กตรอนในลวดเหนี่ยวนำถูกเร่งจนมีความเร็วสุดท้ายในเวลาสั้นกว่าความเวลาของคลื่นสั้น (อาจจะมีความถี่ ๑๐๐๐ Mc) เมื่อสนามไฟฟ้ากระทำต่ออิเล็กตรอนมันจะถ่ายเทพลังงานบางส่วนให้แก่เส้นลวด ทำให้อะตอมภายในเส้นลวดเกิดการชนกันและแผ่รังสีออกในทิศทางข้างหน้าเดียวกับรังสีสะท้อนเกิดการแทรกสอดอย่างหักล้างกัน และหักล้างจนเป็นศูนย์ ในทางกลับกัน รังสีเนื่องจากเคลื่อนที่ของอิเล็กตรอนที่ถูกเร่งตาม y ให้คลื่นสะท้อนตามทิศ $-z$ ดังนั้นกลุ่มของเส้นลวดกำจัดองค์ประกอบ y

ต่อไปพิจารณาองค์ประกอบ x อิเล็กตรอนในเส้นลวดไม่มีอิสระในการเคลื่อนที่ตาม x เพราะว่ามันไม่สามารถหลุดออกจากเส้นลวดได้ ขณะที่อิเล็กตรอนถูกเร่งจนมีความเร็วสุดท้าย มันจะสร้างประจุที่ผิวขึ้นทันทีทันใดตาม $+x$ และ $-x$ ตรงขอบของเส้นลวด เมื่อสนามเกิด



รูป ๔.๔ แสดงกลุ่มของเส้นลวดตุ๊กตาสีคลื่นสั้นที่มีสนาม E ตาม \hat{y} .



รูป ๔.๕ แสดง perfect polarizer. แกนสำหรับการส่งผ่านได้ง่ายของ E ไปตาม \hat{e} . E_{\parallel} เป็นองค์ประกอบของ E ขนานกับ \hat{e} สามารถผ่านไปด้ ส่วนองค์ประกอบอื่น E_{\perp} ถูกดูดกลืนหมด.

เนื่องจากประจุที่ผิวหักล้างกับสนามตกกระทบอย่างพอเหมาะทำให้อีเลกตรอนหยุดนิ่ง เหตุการณ์นี้เกิดขึ้นในเวลาสั้นกว่าคาบเวลาของคลื่นสั้น ดังนั้นอีเลกตรอนอยู่ในสภาวะสมดุลสถิตย์ด้วยไม่มีความเร็วหรือความเร่ง มันจะไม่ถูกคลื่นพลังงานหรือโมเมนต์รังสี ทำให้องค์ประกอบ x ของรังสีไม่มีผลเปลี่ยนแปลงสามารถผ่านไป

โพลารอยด์ (Polaroid) ในปี ค.ศ. ๑๙๓๘ Edwin H. Land ได้ผลิตโพลารอยด์สำเร็จ ซึ่งแผ่นโพลารอยด์ประพฤติเหมือนกับตะแกรงฉลุ ในอุตสาหกรรมแผ่นโพลารอยด์ทำด้วยแผ่นพลาสติก (plastic) ซึ่งประกอบด้วยโมเลกุลไฮโดรคาร์บอนเกาะกันยาวเรียงในแนวเดียวกัน แล้วนำแผ่นพลาสติกนี้จุ่มลงในสารละลายไอโอดีน สารไอโอดีนเกาะติดกับโมเลกุลของไฮโดรคาร์บอนที่เกาะกันยาวๆ ทำให้มีอีเลกตรอนเหนี่ยวนำที่สามารถเคลื่อนที่ได้ในแนวยาวของลูกโซ่ไฮโดรคาร์บอน แต่ไม่สามารถเคลื่อนที่ในแนวตั้งฉากกับมัน ลักษณะเช่นนี้จะมีผลเหมือนกับเส้นลวดตามแนวลูกโซ่ไฮโดรคาร์บอน คือสนามไฟฟ้าที่มีองค์ประกอบตามแนวเส้นลวดจะถูกถูกคลื่น ส่วนองค์ประกอบตามแนวตั้งฉากกับเส้นลวดผ่านไป แผ่นโพลารอยด์มีแกนที่เรียกว่าแกนของการส่งผ่านได้ง่าย ถ้า E อยู่ในแนวแกนนี้ แสงส่งผ่านไปโดยมีการหักเหเล็กน้อย ถ้า E ตั้งฉากกับแกนการส่งผ่านได้ง่าย แสงเกือบทั้งหมดจะถูกถูกคลื่น แกนการส่งผ่านได้ง่ายนี้ตั้งฉากกับทิศทางของการขึงของแผ่นพลาสติก หรือมันตั้งฉากกับเส้นลวดนั่นเอง

เมื่อเรามองดูแผ่นกระดาษสีขาวผ่านแผ่นโพลารอยด์ จะเห็นกระดาษเป็นสีน้ำตาลที่เป็นเช่นนั้นเพราะว่า ครึ่งหนึ่งของแสงที่มาจากกระดาษถูกถูกคลื่นโดยโพลารอยด์ ทำให้เรามองเห็นกระดาษมืดลง ในทางตรงกันข้ามแผ่นของ cellophane สะอาด (หรือแผ่นพลาสติกใสชนิดอื่น) สามารถให้แสงตกกระทบผ่านไปเกือบทั้งหมด

Perfect polarizer-Malus's law

Perfect polarizer หมายความว่า โพลารอยด์ "HN-50" เป็นโพลารอยด์ที่สามารถตัดแสงได้ ๕๐% และให้แสงผ่านไป ๕๐% โดยไม่คิดความเข้มทั้งหมดที่สูญเสียไป เนื่องจากการสะท้อนที่ผิว (ตามปกติ perfect polarizer ไม่มีจริง เพียงแต่นำมาใช้อธิบายได้ง่ายกว่าโพลารอยด์จริง) สมมติว่า องค์ประกอบที่ไม่ต้องการถูกถูกคลื่นหมดเหลือแต่องค์ประกอบที่ต้องการ (คือ E ที่ขนานกับแกนการส่งผ่านได้ง่ายหรือตั้งฉากกับลูกโซ่ไฮโดรคาร์บอน)

ผ่านไปทั้งหมด ถ้าแสงโพลาไรซ์เชิงเส้นตกกระทบบนฉากตาม \hat{z} ด้วยอัมพลิจูดของสนามไฟฟ้าตามขวาง \vec{E} และถ้า \hat{e} เป็นทิศทางของการส่งผ่านไ้่ง่ายของ perfect polarizer ดังนั้นมีเพียงองค์ประกอบอัมพลิจูด $(\vec{E} \cdot \hat{e})\hat{e}$ ผ่านไปได้ พลิกขั้วพลังงานส่งผ่าน I_{out} มีค่าน้อยกว่าพลิกขั้วพลังงานตกกระทบบนฉาก I_{in} ด้วยแฟกเตอร์ $(\vec{E} \cdot \hat{e})^2 / E^2$ ดังนั้น

$$I_{out} = I_{in} \cos^2 \theta = I_{in} (\vec{E} \cdot \hat{e})^2$$

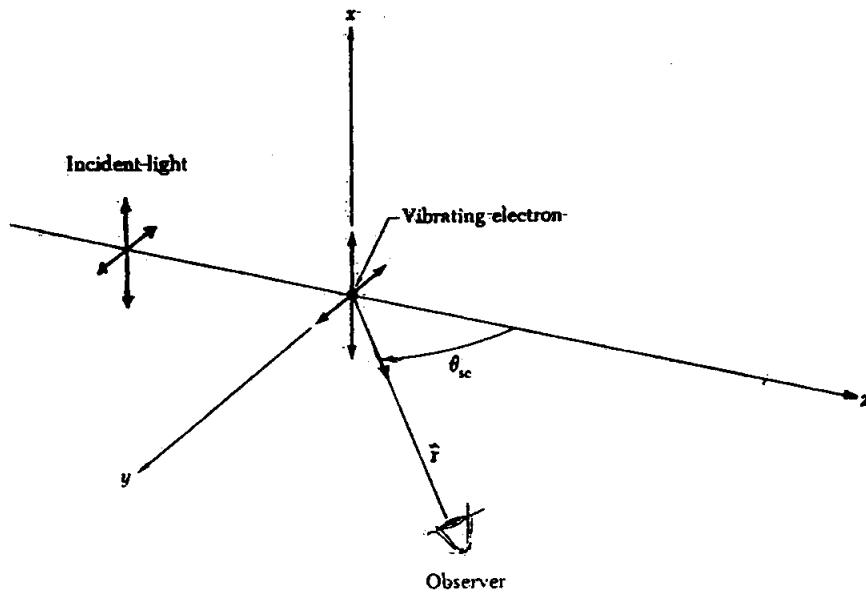
เมื่อ $\hat{e} = \vec{E} / |\vec{E}|$ เป็นเวกเตอร์หนึ่งหน่วยตามทิศทางของ \vec{E} สมการ (2.6b) เรียกว่า Malus's law รูป 2.6

โพลารอยด์สองแผ่นต่อเนื่องกันหมายเลข 1 และ 2 มีแกนส่งผ่านไ้่ง่าย \hat{e}_1 และ \hat{e}_2 ต่างกัน 90° องศาซึ่งกันและกัน เรียกว่า โพลารอยด์ "กากบาท" (crossed) โพลารอยด์แผ่นแรกให้ \vec{E} ผ่านไปได้ตาม \hat{e}_1 เท่านั้น และแผ่นที่ 2 จะถูกคลื่นสนามที่ผ่านมานี้ทั้งหมด ดังนั้นไม่มีแสงใดๆผ่านไปยังข้างหลังของแผ่นที่ 2 ใด อย่างไรก็ตามถ้าเราเอาแผ่นโพลารอยด์ที่สามารถวางไว้ระหว่างโพลารอยด์กากบาท สนามส่งผ่านไม่เป็นศูนย์ถ้าหากว่า \hat{e}_3 ไม่เป็นไปตาม \hat{e}_1 หรือ \hat{e}_2

โพลาริเซชันโดยการกระจัดกระจายทิศทางเดียว

ในวันที่อากาศแจ่มใสเรามองดูท้องฟ้าผ่านแผ่นโพลารอยด์โดยถือใกล้กับตาของเราเพื่อมองเห็นไ้่กรอบกว้าง หมุนแผ่นโพลารอยด์ไปรอบๆเราจะเห็นรอยมืดผ่านท้องฟ้าไป นั่นคือแสงที่มาจากส่วนโพลาไรซ์อย่างมากของท้องฟ้า วัฏจักรระหว่างเส้นเชื่อมศรียะของผู้สังเกตกับดวงอาทิตย์และเส้นเชื่อมศรียะของผู้สังเกตกับบริเวณที่แสงจากท้องฟ้ามีการโพลาไรซ์มากที่สุด เราจะพบว่ามีความประมาณ 90° องศา วัฏทิศทางโพลาไรเซชันซึ่งคือแนวแกนของการส่งผ่านไ้่ง่ายของโพลารอยด์

ถ้าไปอธิบายโพลาไรเซชันของท้องฟ้าสีน้ำเงิน ก็ให้ \hat{z} เป็นทิศทางของการเคลื่อนที่ของแสงจากดวงอาทิตย์ไปยังโมเลกุลของอากาศ ณ ที่ใดที่หนึ่งบนท้องฟ้า (รูป 2.6) สนามไฟฟ้าในแสงอาทิตย์ไม่เป็นโพลาไรซ์ อิเล็กตรอนในโมเลกุลอากาศถูกกระตุ้นจากแสงตกกระทบบนทำให้มันออสซิลเลตในทิศทางของการเคลื่อนที่รวมกันของ \hat{x} และ \hat{y} (ทิศทางตามขวางกับ \hat{z})



รูป ๔.๖ แสดงโพลาไรเซชันโดยการกระจัดกระจายทิศทางเดียว เลือกแกน \hat{y} ให้อยู่บนระนาบของ \hat{z} และ \hat{r} . ผู้สังเกตเห็นเงาการเคลื่อนที่ของอิเล็กตรอนทาง \hat{x} แต่เขาเห็นเงาอัมปลิจูดทาง \hat{y}

อิเล็กตรอนที่ออสซิลเลตจะแผ่รังสีในทุกทิศทางแต่ไม่เท่ากัน เราทราบแล้วว่าอัมปลิจูดและทิศทางโพลาไรเซชันของรังสีสนามไฟฟ้าจากประจุจุดเกิดเป็นไปตามเงาอัมปลิจูดของการเคลื่อนที่ของประจุที่ออสซิลเลต ผู้สังเกตสามารถเห็นได้เมื่อมองไปยังประจุกำลังออสซิลเลตแผ่รังสีเงาอัมปลิจูดของการเคลื่อนที่ที่เราหมายถึงอัมปลิจูดขององค์ประกอบเวกเตอร์การเคลื่อนที่ของอิเล็กตรอน ซึ่งตั้งฉากกับทิศทางของการเคลื่อนที่ \hat{z} จากประจุนออสซิลเลตไปยังผู้สังเกต ถ้า \hat{z} อยู่ในแนว \hat{y} ผู้สังเกตจะเห็นเพียงองค์ประกอบ \hat{x} ของการเคลื่อนที่ของอิเล็กตรอนเท่านั้น ดังนั้นผู้สังเกตเห็นรังสีเป็นโพลาไรซ์เชิงเส้นตาม \hat{x} 100% ความเข้มแสงเป็นเพียงครึ่งหนึ่งของความเข้มแสงในแนว \hat{z} ที่สามารถเห็นได้ทั้งการเคลื่อนที่ \hat{x} และ \hat{y} ของอิเล็กตรอน

โพลาไรเซชันโดยการสะท้อนลักษณะกระเจกเงา Brewster's angle

เมื่อเรามองดูการสะท้อนของแสงบนผิวเรียบของแก้วหรือน้ำ และตรวจสอบโพลา-

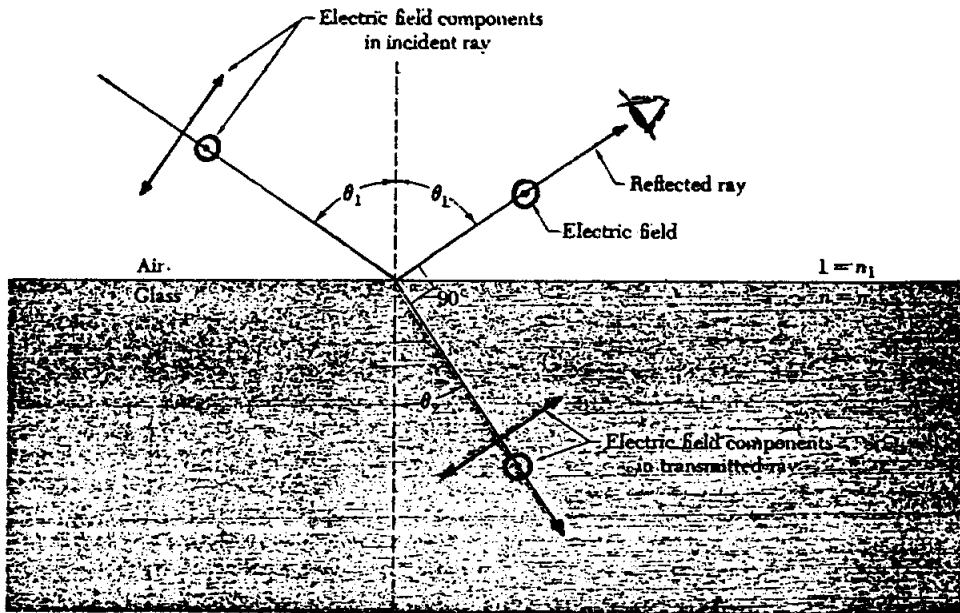
โรเซชันของแสงตกกระทบบนผิวแผ่นโพลารอยด์ เราจะพบว่ามุมของแสงตกกระทบบนประมาณ 56 องศา (วัดจากรังสีตกกระทบบนถึงเส้นปกติของผิว) สำหรับแก้วที่มีดัชนีหักเห $n = 1.5$ หรือที่มุมของแสงตกกระทบบนประมาณ 53 องศาสำหรับน้ำ (ดัชนีหักเหประมาณ 1.33) แสงสะท้อนเป็นโพลารอยด์เชิงมุม 100% ขนาดกับผิว มุมเฉพาะของการตกกระทบบนเรียกว่ามุมของ Brewster ดังนั้น โดยการหมุนโพลารอยด์ไปยังตำแหน่งที่เหมาะสม เราสามารถกำจัดแสงสะท้อนได้ทั้งหมดถ้ามุมตกกระทบบนอยู่ที่มุมของ Brewster

สำหรับมุมใดๆของการตกกระทบบน ให้มุมของรังสีตกกระทบบนและรังสีสะท้อนเป็น θ_1 และ θ_2 สัมพันธ์กันด้วยกฎของ Snell

$$n_1 \sin\theta_1 = n_2 \sin\theta_2 \quad (2.47)$$

ถ้ารังสีตกกระทบบนและรังสีสะท้อนทำมุมเท่ากันกับเส้นปกติ (เรียกว่ากฎของการสะท้อน) ดังนั้นที่มุมเฉพาะของแสงตกกระทบบน θ_1 ซึ่ง $\theta_1 + \theta_2$ เป็น 90 องศา รังสีสะท้อนทำมุม 90 องศากับรังสีหักเห (หรือรังสีส่งผ่าน) ตามรูป 2.4 ทิศทางของการออสซิลเลชันของอีเลกตรอนในแก้วเป็นความขวางกับทิศทางของรังสีส่งผ่าน สำหรับมุมใดๆของการตกกระทบบน องค์ประกอบของการเคลื่อนที่อีเลกตรอนที่ตั้งฉากกับระนาบของแสงตกกระทบบนเป็นแสงที่เห็นได้ทั้งหมด เมื่อผู้สังเกตมองในทิศทางของแสงสะท้อนและองค์ประกอบของการเคลื่อนที่ที่ตั้งฉากกับทิศทางของการเคลื่อนที่จากอีเลกตรอนไปยังผู้สังเกต (หรือทิศทางของรังสีสะท้อน) อย่างไรก็ตามก็ยังคงประกอบของการเคลื่อนที่อีเลกตรอนที่อยู่ในระนาบของรังสีตกกระทบบนที่ไม่ได้ตั้งฉากกับทิศทางของรังสีสะท้อน มีเพียงองค์ประกอบของเงาการเคลื่อนที่ที่ตั้งฉากกับรังสีสะท้อนมีส่วนทำให้เกิดการแผ่รังสีสะท้อน ที่มุมของ Brewster ของการตกกระทบบนองค์ประกอบของการเคลื่อนที่ของอีเลกตรอนในระนาบของรังสีตกกระทบบนอยู่ในแนวเส้นตรงจากอีเลกตรอนไปยังผู้สังเกตและไม่ทำให้เกิดแสงสะท้อน ดังนั้นแสงสะท้อนเป็นโพลารอยด์ที่สมบูรณ์ตั้งฉากกับระนาบของรังสีตกกระทบบน จากรูป 2.4 เราเห็นได้ว่าสภาวะนี้สอดคล้องกับ $\theta_1 + \theta_2$ เท่ากับ 90 องศา ดังนั้น สมการ (2.47) ให้ [เมื่อใช้ $n_1 = 1$, $n_2 = n$ และ $\sin\theta_2$ เท่ากับ $\sin(90^\circ - \theta_1)$ ซึ่งคือ $\cos\theta_1$]

$$\tan\theta_1 = n \quad \theta_1 = \text{Brewster's angle} \quad (2.48)$$



รูป ๔.๗ แสดงมุมของ Brewster

ความสัมพันธ์เฟสสำหรับแสงสะท้อนบนผิวเรียบ

ความสัมพันธ์เฟสระหว่างแสงตกกระทบ แสงส่งผ่าน และแสงสะท้อนมีดังนี้ คลื่นส่งผ่านมีเฟสเหมือนกับคลื่นตกกระทบเสมอเป็นเช่นเดียวกับคลื่นสะท้อนและคลื่นส่งผ่านบนเส้นเชือก คลื่นตกกระทบมาจากแรงเคลื่อนทำให้เกิดคลื่นส่งผ่านด้วยสัมประสิทธิ์การส่งผ่านเป็นค่าบวก เพราะว่าแรงเคลื่อนที่เกิดจากคลื่นตกกระทบเป็นเช่นเดียวกับแรงเคลื่อนที่ทำให้เกิดคลื่นตกกระทบเดิม คลื่นส่งผ่านเกิดเนื่องจากต้นกำเนิดแสงเป็นส่วนใหญ่ และยังเกิดเนื่องจากการแผ่รังสีจากอีเลกตรอนในแก้วที่ถูกกระตุ้นเป็นจำนวนน้อย ส่วนคลื่นสะท้อนเกิดเนื่องจากการแผ่รังสีจากอีเลกตรอนที่ถูกกระตุ้นทั้งหมด เราทราบแล้วว่าเมื่อคลื่นตกกระทบตั้งฉาก สัมประสิทธิ์การสะท้อนสำหรับสนามไฟฟ้าเป็นลบ และเรายังทราบว่าสนามไฟฟ้าสะท้อนเกิดจากการรวมกันของส่วนที่มาจากเงาเคลื่อนที่ของอีเลกตรอนที่อยู่ฝั่งเงาของที่คลื่นสะท้อน การเคลื่อนที่ของอีเลกตรอนเป็นไปตามสนามไฟฟ้าส่งผ่าน ดังนั้น ความสัมพันธ์เฟสทั้งหมดเมื่อคลื่นตกกระทบตั้งฉากสามารถกล่าว

ไว้ว่า สำหรับแสงตกกระทบจากอากาศไปยังแก้ว ผู้สังเกตมองดูที่แสงสะท้อนจะเห็นอัมปลิจูดที่เป็นอมของเงาอัมปลิจูดของสนามส่งผ่านขณะที่เงาตั้งฉากกับเส้นตรงที่ผู้สังเกตมองดู ข้อความนี้เป็นจริงเสมอไม่เพียงเฉพาะสำหรับการตกกระทบตั้งฉากแต่สำหรับมุมตกกระทบทั้งหมด

ความสัมพันธ์ความเข้มสำหรับแสงสะท้อน

โดยใช้โพลารอยด์และแผ่นฟิล์มขนาดเล็กเราสามารถพิสูจน์ได้ว่า องค์ประกอบโพลารไรเซชันเชิงเส้นที่ตั้งฉากกับระนาบของการตกกระทบมีการสะท้อนด้วยความเข้มเพิ่มขึ้นที่ละเล็กทีละน้อย ขณะที่มุมของการตกกระทบเพิ่มขึ้นจาก ๐ องศา (ตกกระทบตั้งฉาก) ถึง ๕๐ องศา (ตกกระทบครุกไปกับผิว) การตกกระทบตั้งฉาก มีประมาณ ๔% ของความเข้มแสงสะท้อนจากผิวเดียว และประมาณสองเท่าของความเข้มนี้สะท้อนจากแผ่นฟิล์มขนาดเล็กที่มีสองผิว การตกกระทบครุกไปกับผิว มี ๑๐๐% ของแสงสะท้อนกลับหมด สำหรับองค์ประกอบโพลารไรซ์ในระนาบของการตกกระทบ ความเข้มแสงสะท้อนจากสองผิวของแผ่นฟิล์มขนาดเล็กมีค่าลดลงจากประมาณ ๔% ที่ตกกระทบตั้งฉากถึงศูนย์ที่มุมของ Brewster (๕๖ องศา) และมีค่าเพิ่มขึ้นทีละน้อยจนถึง ๑๐๐% เมื่อตกกระทบครุกไปกับผิว

๔.๔ การหักเหสองแนว (Double refraction)

ในตอน ๔.๓ เราได้ศึกษาการเปลี่ยนสถานะของโพลารไรเซชันของลำคลื่นแม่เหล็กไฟฟ้า โดยเลือกใช้การดูดกลืนหรือการสะท้อนขององค์ประกอบที่ไม่ต้องการ ในตอนนี้เราจะศึกษาการเปลี่ยนสถานะโพลารไรเซชันโดยการเปลี่ยนแปลงความสัมพันธ์เฟสขององค์ประกอบคู่นั้น จักให้แผนการส่งผ่านโค้งง่ายของสองแผ่นโพลารอยด์อยู่ในแนวไขว้กันหรือตั้งฉากกัน ปรากฏว่าไม่มีแสงผ่านแผ่นทั้งสองไปได้ แต่ถ้านำแผ่น cellophane (กระดาษแก้วหรือแผ่นพลาสติกใสบางๆ) สอดกั้นระหว่างกลางแผ่นโพลารอยด์แสงจึงผ่านไปได้ เนื่องจากว่าแผ่น cellophane เป็นวัตถุโปร่งใสและไม่สามารถดูดกลืนแสง ดังนั้นมีเพียงวิธีเดียวที่มันสามารถเปลี่ยนโพลารไรเซชันของแสงได้คือ เปลี่ยนความสัมพันธ์เฟสขององค์ประกอบโพลารไรซ์ให้ค้ำกัน

คือไปหมุนแผ่น cellophane ระหว่างแผ่นโพลารอยด์โดยยังคงรักษาให้โพลารอยด์ไขว้กัน เราจะพบว่ามีสองมุมที่เป็น ๕๐ องศาห่างจากกัน (ในการหมุน ๑๔๐ องศา)

ปรากฏว่าแผ่น cellophane มีผลต่อโพลาไรซ์มากที่สุด และมีสองมุมที่เป็น 90° องศาห่างจากกันปรากฏว่าแผ่น cellophane ไม่มีผลแต่อย่างใด ดังนั้น cellophane จะมีสองทิศทางที่ต่างกัน และเรียงตัวห่างกัน 90° องศาซึ่งกันและกัน และอยู่ในระนาบของ cellophane ซึ่งมีผลต่อคุณสมบัติของการเปลี่ยนความสัมพันธ์เฟสในองค์ประกอบโพลาไรซ์ต่างกันของแสง ทั้งสองทิศทางนี้ให้อยู่ในแกนที่ตั้งฉากกันเรียกว่า แกนทัศนศาสตร์ (optic axes) แกนทัศนศาสตร์ทั้งสองให้ค่าคงที่ dielectric ต่างกันทั้งสองทิศทาง ดังนั้นค่าดัชนีหักเหของแผ่นพลาสติกมีค่าต่างกันสำหรับสองทิศทางนี้ด้วย แสดงว่าความเร็วเฟสในแกนทั้งสองไม่เท่ากัน เราเรียกแกนทัศนศาสตร์ที่ให้ค่าดัชนีหักเหมากกว่าเป็น แกนวิ้งช้า (slow axis เนื่องจากค่าดัชนีหักเหมากกว่าหมายถึงความเร็วเฟสช้ากว่า) และแกนทัศนศาสตร์อีกแกนหนึ่งเรียกว่า แกนวิ้งเร็ว (fast axis) เราเรียกดัชนีหักเหที่สอดคล้องกับแกนทั้งสองเป็น n_s และ n_f (ใช้ f สำหรับวิ้งเร็ว และ s สำหรับวิ้งช้า) ด้วย $n_s > n_f$ แผ่น cellophane หรือ พลาสติกหรือวัสดุอื่นที่มีคุณสมบัติเหล่านี้ เรียกว่า retardation plate

เราทดสอบผลของแผ่น retardation ต่อคลื่นเคลื่อนที่ระนาบแม่เหล็กไฟฟ้าที่ตกกระทบตั้งฉากกับองค์ประกอบตามแกนวิ้งช้า $\hat{e}_s \equiv \hat{x}$ และแกนวิ้งเร็ว $\hat{e}_f = \hat{y}$ สมมติว่า สำหรับ $z < 0$ เป็นสูญญากาศ และแผ่น retardation เริ่มต้นที่ $z = 0$ ถึง $z = \Delta z$ ต่อจากนั้นเป็นสูญญากาศอีก การออสซิลเลชันของสนามไฟฟ้าของคลื่นตกกระทบที่ $z = 0$ กำหนดด้วยส่วนเป็นจริงของปริมาณ complex

$$\vec{E}_c(0, t) = e^{i\omega t} \left[\hat{x} A_s e^{i\phi_s} + \hat{y} A_f e^{i\phi_f} \right] \quad (4.44)$$

อัมพลิจูด A_s และ A_f และค่าคงที่เฟส ϕ_s และ ϕ_f เป็นค่าใดๆ ต่อไปพิจารณาคลื่นส่งผ่านเข้าไปในแผ่น retardation ระหว่าง $z = 0$ และ Δz โดยไม่คิดถึงการสูญเสียไปเนื่องจากการสะท้อนที่ผิวแรก และแทนค่า ωt ด้วย $\omega t - kz$ ในสมการ (4.44) แต่เราต้องจำว่า k ไม่เป็นเหมือนคอนแรกสำหรับ \vec{E} ตาม \hat{e}_s และตาม \hat{e}_f แต่ k เป็นปฏิภาคตรงกับค่าดัชนีหักเหและมีค่าเป็น $n\omega/c$ ดังนั้น ภายในแผ่น retardation เรามี

$$(4.45) \quad \vec{E}_c(z, t) = e^{i\omega t} \left[\hat{x} A_s e^{i\phi_s} e^{-in_s \omega z / c} + \hat{y} A_f e^{i\phi_f} e^{-in_f \omega z / c} \right]$$

ขณะที่คลื่นเคลื่อนที่ผ่านแผ่น retardation หนา Δz แต่ละองค์ประกอบมีเฟสต่างกันช้ากว่า เฟสที่มันควรจะมีในขณะเคลื่อนที่ผ่านสุญญากาศ (ด้วย $n = 1$) สำหรับองค์ประกอบ s มุม เฟส retardation ช้ากว่า กำหนดด้วย $(n_s - 1)\omega\Delta z/c$

$$\text{phase retardation ของ } E_s \text{ เทียบกับสุญญากาศ} = (n_s - 1)\frac{\omega\Delta z}{c} \quad (2.59)$$

ทำนองเดียวกัน เรามี

$$\text{phase retardation ของ } E_f \text{ เทียบกับสุญญากาศ} = (n_f - 1)\frac{\omega\Delta z}{c} \quad (2.60)$$

โดยการลบสมการ (2.60) ออกจากสมการ (2.59) เราพบว่า retardation ในเฟสของ E_s เทียบกับ E_f คือ

$$\begin{aligned} \text{phase retardation ของ } E_s \text{ เทียบกับ } E_f &= (n_s - n_f)\frac{\omega\Delta z}{c} \quad (2.61) \\ &= (n_s - n_f)\frac{2\pi\Delta z}{\lambda_{\text{vac}}} \end{aligned}$$

เมื่อ λ_{vac} คือความยาวคลื่นในสุญญากาศ สมมติว่าแสงโพลาไรซ์เชิงเส้นตกกระทบบน E ตาม z ของสาร ระหว่างเส้นตรง \hat{e}_s และ \hat{e}_f ดังนั้น A_s และ A_f มีค่าเท่ากัน และ ϕ_s และ ϕ_f มีค่าเท่ากันเช่นกัน และค่าความหนาของแผ่นมีค่าเท่ากัน องค์ประกอบวิ่งช้าอยู่ด้านหลังกว่า องค์ประกอบวิ่งเร็วกว่าหนึ่งส่วนสี่รอบ หรือมันมีมุมเฟส retardation ล้าหลังด้วย $\frac{1}{2}\pi$ เทียบกับองค์ประกอบวิ่งเร็ว แผ่น retardation นี้เรียกว่า แผ่นเลี้ยวคลื่น (quarter-wave plate) ดังนั้น คลื่นเคลื่อนที่ในแผ่นชนิดนี้มีอัมพลิจูดเท่ากันสำหรับองค์ประกอบวิ่งช้า และวิ่งเร็ว และองค์ประกอบวิ่งเร็วนำหน้าองค์ประกอบวิ่งช้าด้วย 90° องศาในเฟส หมายความว่าเรามีแสงโพลาไรซ์เชิงหมุนที่หมุนจาก \hat{e}_f ไปยัง \hat{e}_s สำหรับแผ่น retardation ที่หนา เป็นสองเท่าของแผ่นเลี้ยวคลื่น เรียกว่าเป็น แผ่นครึ่งคลื่น (half-wave plate) ซึ่งเปลี่ยน แสงโพลาไรซ์เชิงเส้นไปเป็นแสงโพลาไรซ์เชิงเส้นด้วยทิศทางโพลาไรเซชันของทางออกที่หา ได้จากการสะท้อนของทางเข้าในหนึ่งแกนทัศนศาสตร์ ดังนั้น แผ่นครึ่งคลื่นทำให้องค์ประกอบ เชิงเส้นของอัมพลิจูดตกกระทบบลับเครื่องหมาย หรืออาจเปลี่ยนแสงโพลาไรซ์เชิงหมุนตามมือ

ขวาไปเป็นแสงโพลาไรซ์เชิงหมุนตามมือซ้ายหรือกลับกัน

วัตถุที่มีโครงสร้างของผลึกส่วนมากแสดงการหักเหสองแนว ถ้ามันมีเพียงทิศทางเดียว เช่นในสารอสมลักษณะ (anisotropy) เรียกเป็น แขนเดี่ยว (uniaxial) ทิศทางการแกนของสารอสมลักษณะเรียกว่า ทิศทาง "อปกติ" ("extraordinary") และอีกสองทิศทางตั้งฉากกับแกนเดี่ยวเรียกว่า ทิศทาง "ปกติ" ("ordinary") ค่าดัชนีหักเหที่สอดคล้องกับทิศทางเหล่านี้เรียกเป็น n_e และ n_o (e สำหรับรังสีอปกติ และ o สำหรับรังสีปกติ) สำหรับทิศทาง e และ o แกนของอสมลักษณะสามารถเป็นได้ทั้งแกนวิ่งเร็วหรือแกนวิ่งช้าขึ้นอยู่กับโครงสร้างผลึกของวัตถุ เช่นในตาราง ๔.๑ ได้แสดงค่าดัชนีหักเหสำหรับแสงของความถี่ ๕๘๙๐ \AA (เป็นแสงสีเหลืองที่กระจายออกจากอะทอมโซเดียม)

ตาราง ๔.๑ ผลึกแกนเดี่ยวของวัตถุบางอย่าง

วัตถุ	n_e	n_o	แกน e
Quartz	๑.๕๕๓	๑.๕๔๔	วิ่งช้า
Calcite	๑.๕๘๖	๑.๖๕๘	วิ่งเร็ว
Ice	๑.๓๐๗	๑.๓๑๖	วิ่งช้า

แบบฝึกหัดบทที่ ๘

- 8.1 จงหามุมตกกระทบและมุมหักเหของแสงที่ผิวหน้า ซึ่งทำให้แสงสะท้อนเป็นแสงโพลาไรซ์ 100% กำหนดให้ดัชนีหักเหของน้ำเท่ากับ $4/3$ (ตอบ 53.20° และ 36.88°)
- 8.2 ถ้าใช้แผ่นโพลาไรซ์ 2 แผ่นดูแสงสว่างจากหลอดไฟ แกนของแผ่นโพลาไรซ์ควรทำมุมเท่าใดต่อกัน แสงที่ผ่านออกจึงจะมีความเข้มลดลงครึ่งหนึ่งของความเข้มเดิม (ตอบ ศูนย์)
- 8.3 เมื่อให้แสงโพลาไรซ์เชิงเส้นผ่านแผ่นโพลาไรซ์ โดยให้แกนของโพลาไรซ์ทำมุม 60° กับแนวโพลาไรซ์เดิม ความเข้มของแสงลดลงเหลือเท่าใด? (ตอบ $\frac{1}{4}$ เท่าของเดิม)
- 8.4 ดวงอาทิตย์จะตั้งอยู่สูงจากขอบฟ้าเท่าใด แสงแดดที่สะท้อนจากผิวน้ำจึงจะเป็นแสงโพลาไรซ์เชิงเส้น 100% ให้ดัชนีหักเหของน้ำเท่ากับ $4/3$ (ตอบ 37°)
- 8.5 Carry out explicitly the steps outline following Eq.(8.18), to show that Eq.(8.18) represents a displacement $\psi(t)$ that follows an elliptical path.
- 8.6 Circularly polarized light of intensity I_0 (intensity means energy flux per unit area per unit time; this is proportional to a photomultiplier's output current, for light at a given frequency) is incident on a single polaroid. Show that the output intensity (intensity of the light emerging from the rear of the polaroid) is $\frac{1}{2} I_0$.
- 8.7 Linearly polarized light with polarization direction at angle θ from \hat{x} is incident on a polaroid with easy axis along \hat{x} . The first polaroid is followed by a second polaroid with its easy axis along the direction of polarization of the original incident light. Show that if the input intensity is I_0 , the output intensity is $I_0 \cos^4 \theta$.

8.8 Circularly polarized light of intensity I_0 is incident on a sandwich of three polaroids. The first and third polaroids are crossed, i.e., their easy axes are at 90 deg to one another. The middle polaroid makes an angle θ with the axis of the first polaroid. Show that the output intensity is $\frac{1}{2}I_0 \cos^2\theta \sin^2\theta$.

8.9 Suppose you have linearly polarized incident light with polarization along \hat{x} . You desire linearly polarized light with polarization at 30 deg to \hat{x} , i.e., along

$$\hat{e} = \hat{x} \cos 30^\circ + \hat{y} \sin 30^\circ.$$

How can you obtain this transmitted field (a) at the cost of some loss of intensity; (b) without loss of intensity and without using any polaroids?

8.10 What is the transmitted intensity for unpolarized light of intensity I_0 incident on crossed polaroids with a half-wave plate between them, (a) when the retardation plate's optic axis (say the slow axis) is parallel to the easy axis of one of the polaroids; (b) when the wave plate's optic axis is at 45 deg to one of the easy axes ?

8.11 Answer the same questions as in Prob.8.10, but use a quarter-wave plate.

8.12 Suppose that a beam of linearly polarized light is incident on a half-wave plate which is rotating about the beam axis with angular velocity ω_0 . Show that the output light is linearly polarized, with the polarization direction rotating at $2\omega_0$.